

تعیین برخی از خصوصیات بیولوژیکی و مولکولی جدایه ارومیه ویروس موزاییک هندوانه

شیوا قربانی - مینا راستگو*^۲ - محمد عبداللهی^۳

تاریخ دریافت: ۱۳۹۰/۰۶/۱۳

تاریخ پذیرش: ۱۳۹۲/۱۰/۰۷

چکیده

ویروس موزاییک هندوانه یکی از شایع‌ترین ویروس‌ها روی کدویان می‌باشد. به منظور ردیابی و تعیین پراکنش این ویروس در مزارع منطقه ارومیه، ۳۲۶ نمونه از گیاهان کدو، هندوانه، خربزه و خیار دارای علائم موزاییک و رگبرگ نواری و غیره از ۲۲ روستای منطقه ارومیه جمع‌آوری و با آنتی‌بادی اختصاصی WMV در آزمون DAS-ELISA مورد بررسی قرار گرفتند. از این تعداد، ۹۴ نمونه آلوده تشخیص داده شدند. جهت بررسی دامنه میزبانی از گیاهان متنوعی متعلق به چهار خانواده استفاده گردید که گیاهان *Cucumis melo* L.cv.Felexusus، *Cucurbita pepo* و *Nicotiana glauca* cv. Burlu و *Cucumis sativus* L.cv. Peto Seed، *Chenopodium amaranticolor* Coste et Reyn میزبان‌های ویروس تشخیص داده شدند. یک قطعه ۹۶۶ نوکلئوتیدی با آزمون IC-RT-PCR تکثیر و مستقیماً برای تعیین ترادف فرستاده شد. در درخت‌های فیلوژنتیکی ترسیم شده جدایه ارومیه داخل هیچ کدام از ۶ گروهی که قبلاً توسط محققین دیگر تعیین شده بود قرار نگرفت.

واژه‌های کلیدی: ویروس موزاییک هندوانه، آنالیز فیلوژنتیک، DAS-ELISA، ارومیه

مقدمه

گزارش شده است. دامنه میزبانی طبیعی این ویروس در ایران عمدتاً محدود به کدویان است (۳، ۵، ۱۰، ۱۱، ۱۴ و ۱۶). اولین گزارش از تنوع مولکولی WMV در ایران مربوط به کار دسبایز و همکاران است که تنوع مولکولی ۴۲ جدایه از نقاط مختلف دنیا از جمله ۸ جدایه از ایران را براساس یک قطعه ۲۱۸ نوکلئوتیدی از ناحیه ۵' ژن پروتئین پوششی بررسی کردند. به دنبال آن شریفی و همکاران (۱۶) ۱۸ جدایه از مناطق مرکزی و جنوبی ایران را براساس ژن پروتئین پوششی آنالیز کردند. ترادف کامل جدایه IR02-01 توسط دسبایز و لکوک تعیین گردید.

مواد و روش‌ها

در طول فصل زراعی ۱۳۹۰-۱۳۸۹، ۳۲۶ نمونه کدو، خیار، خربزه و هندوانه از مزارع جالیز و قاصولوی علیا، مرنگلوی بزرگ، ساری بگلوی چراغ، آده بزرگ، زرماملو، قراققلو، نازلو، الله لوی بزرگ، چنقرانلوی پل، زنبلان، امامزاده، میاوق، کشتیبان، یورقانلو، زینالو، قره‌جلو، طلا تپه، موش آباد، قوطولو، اصلوی بزرگ و یکنجه جمع‌آوری و برای انجام آزمون‌های سرولوژیکی و مولکولی به آزمایشگاه منتقل شدند.

تعیین دامنه میزبانی ویروس موزاییک هندوانه

برای تعیین دامنه میزبانی و مشاهده علائم و نیز تکثیر ویروس از

از بین عوامل بیماری‌زای مختلف، ویروس‌ها هر ساله موجب بروز خسارت فراوان در کدویان سراسر دنیا می‌شوند. شدت پراکنش بیماری‌های ویروسی متغیر و به رابطه بین بیمارگر، میزبان، ناقل، شرایط محیطی و موقعیت جغرافیایی محلی که بیماری اتفاق می‌افتد بستگی دارد (۸). ویروس موزاییک هندوانه (*Watermelon mosaic virus, WMV*) یکی از شایع‌ترین ویروس‌ها می‌باشد. WMV نخستین بار از روی کدو توسط Webb و Scott گزارش شد (۱۳). WMV از تیره پوتی‌ویریده و جنس پوتی‌ویروس می‌باشد. این ویروس به وسیله ۳۸ گونه شته به طریق ناپایا منتقل می‌شود و در مقایسه با سایر پوتی‌ویروس‌ها دامنه میزبانی وسیع‌تری دارد. WMV به طور آزمایشی بیش از ۱۷۰ گونه گیاهی متعلق به ۲۷ خانواده را آلوده می‌کند (۱۸). WMV به عنوان یک بیمارگر مهم در مناطق مدیترانه‌ای و معتدل شناخته شده است و تنوع بیولوژیکی آن به خوبی مورد مطالعه قرار گرفته است (۱۳). تاکنون گزارش‌های متعددی از وجود، گسترش و دامنه میزبانی WMV از مناطق مختلف ایران

۱- و ۳- دانشجوی سابق کارشناسی ارشد و دانشیار گروه بیماری‌شناسی گیاهی، دانشکده کشاورزی، دانشگاه یاسوج

۲- استادیار گروه بیماری‌شناسی گیاهی، دانشکده کشاورزی، دانشگاه ارومیه

(Email: m.rastgou@urmia.ac.ir)

*-نویسنده مسئول:

دمای ۷۲ درجه سلسیوس قرار گرفتند. واسرشته‌سازی آغازین در دمای ۹۴ درجه سلسیوس به مدت ۴ دقیقه انجام شد.

محصول PCR دارای دو باند به اندازه متفاوت بود و علیرغم تلاش برای حذف قطعه غیراختصاصی با تغییر دمای مرحله اتصال و غلظت $MgCl_2$ ، باند اضافی حذف نشد، بنابراین باند مورد نظر با استفاده از Zymoclean™ Gel DNA Recovery Kit (Zymo Research corp, USA) از ژل مطابق دستورالعمل شرکت سازنده استخراج شد.

به منظور تعیین ترادف نوکلئوتیدی محصول واکنش PCR بعد از استخراج از ژل در حجم ۲۰ میکرولیتر به شرکت تکاپوزیست ارسال شد. تعیین ترادف در هر دو جهت و با استفاده از آغازگرهای اختصاصی WMV انجام شد.

آنالیز فیلوژنتیک

جستجو در پایگاه‌های اطلاعاتی با استفاده از برنامه بلاست (۲) انجام شد. تحلیل نتایج ترادف نوکلئوتیدی شامل هم‌ردیف‌سازی چندگانه ترادف‌های نوکلئوتیدی و آمینواسیدی و تعیین درصد یکسانی آمینواسیدی پروتئین‌های ویروس موزاییک هندوانه جدا شده از ارومیه با پروتئین‌های سایر جدایه‌های موجود در بانک ژن (جدول ۱) (۱۷)، با نرم‌افزار MEGA5.05 انجام گرفت. فایل‌های هم‌ردیف‌سازی شده حاصل در نرم‌افزار MEGA5.05 برای ترسیم درخت فیلوژنتیکی از روش‌های مختلف Maximum Likelihood، Maximum parsimony و Neighbour joining استفاده شد (۱۹). در این آنالیزها از ترادف ویروس موزاییک هندوانه مراکشی (Moroccan watermelon mosaic virus, MWMV) (رس شمار NC_009995) به عنوان outgroup استفاده شد. معنی‌دار بودن آماری با کاربرد ۱۰۰ تکرار از bootstrap resampling از هم‌ردیف‌سازی چندگانه اصلی محاسبه شد.

نتایج

علائم بیماری در بوته‌های آلوده به WMV متنوع بود. عمده‌ترین علائمی که مشاهده گردید رگبرگ نواری، موزاییک همراه با تاوولی شدن برگ‌ها به صورت خفیف یا شدید بود (شکل ۱).

تعیین پراکنندگی ویروس

از ۳۲۶ نمونه جمع‌آوری شده، ۹۴ نمونه آلوده به WMV بودند. پراکنش ویروس در ۲۲ منطقه از شهرستان مورد بررسی قرار گرفت. WMV تنها در مناطق زنبلان و میاوق مشاهده نشد. بیش‌ترین آلودگی در مرنگلوی بزرگ گزارش شد (جدول ۲).

میزبان‌های متعددی استفاده گردید. بذرهای مختلف در گلدان‌های کوچک سفالی در خاک متشکل از دو قسمت شن، دو قسمت خاکبرگ و یک قسمت کود حیوانی کاشته و در گلخانه در دمای ۲۵-۳۰ درجه سانتی‌گراد، رطوبت نسبی ۶۰-۷۰ درصد و نور مناسب نگهداری شدند. نمونه‌های آلوده به نسبت ۱:۱۰ (w/v) در بافر فسفات پتاسیم ۰/۱ مولار با pH=۷ عصاره‌گیری شده و با کمک پودر کاربوراندوم به برگ‌های گیاهان محک، مایه‌زنی مکانیکی انجام شد. این گیاهان در گلخانه با دمای ۲۵-۲۰ درجه سانتی‌گراد نگهداری شدند و نهایتاً هر یک از این گیاهان یک ماه بعد از مایه‌زنی، با آزمون الیزا مورد بررسی قرار گرفتند.

آزمون الیزا و تعیین پراکنش

جهت شناسایی و تعیین پراکنش ویروس‌های آلوده‌کننده کدویان در منطقه ارومیه، از آزمون الیزا و آنتی‌بادی‌های چندهمسانه‌ای اختصاصی (تهیه شده توسط مرکز IVV ایتالیا) این ویروس‌ها استفاده گردید. آزمون الیزا طبق روش کلارک و آدامز انجام شد (۴).

آزمون IC-RT-PCR

این آزمون با اندکی تغییرات مطابق روش هوت انجام شد (۸). در این آزمون از آنتی‌بادی چند همسانه‌ای ویروس برای به دام انداختن پیکره‌های ویروس استفاده شد. واکنش RT با مخلوط کردن ۴ میکرولیتر RT Buffer 5x، ۲/۵ میکرولیتر DTT، ۲/۵ میکرولیتر dNTP (10mM)، ۱ میکرولیتر MMLV Reverse Transcriptase (200unit/μl)، ۱ میکرولیتر آغازگر معکوس (۱۰ میکرولیتر)، ۰/۵ میکرولیتر RNase Inhibitor Enzymes (10unit/μl) تهیه گردید. مخلوط حاصل با افزودن آب به حجم ۲۰ میکرولیتر رسانده و در دمای ۴۲ درجه سانتی‌گراد به مدت یک ساعت نگهداری شد. cDNA به دست آمده از واکنش RT با واکنش زنجیره‌ای پلی‌مراس (Polymerase Chain Reaction, PCR) در حجم نهایی ۲۵ میکرولیتر و با استفاده از سه میکرولیتر cDNA، یک میکرولیتر از آغازگرهای IWM3f (پیش‌رو) و IWM2r (پس‌رو) به ترتیب با ترادف‌های 5'-GGTGTGARTCAGTGTCTYTRC-3' و 5'-CGGTATTGTAATGGTTCTCCCTG-3' (10μM) (۲/۵، ۱) میکرولیتر PCR buffer 10X، ۰/۷۵ میکرولیتر $MgCl_2$ (50mM)، ۰/۵ میکرولیتر Taq DNA Mix (10 mM)، ۱۵/۷۵ میکرولیتر Polymerase (2/5 unit/100μl) تقطیر استریل در ۳۵ سیکل انجام شد به طوری که هر سیکل شامل مرحله واسرشت ۴ دقیقه در دمای ۹۴ درجه سلسیوس، مرحله اتصال یک دقیقه در دمای ۵۳ درجه سلسیوس و مرحله امتداد ۲ دقیقه در ۷۲ درجه سانتی‌گراد بود. در نهایت نمونه‌ها برای مدت ۱۰ دقیقه در

جدول ۱- رس شمار، میزبان، کشور، ناحیه ژنومی و اندازه قطعه جدایه‌ها یا استرین‌های WMV در بانک ژن

جدایه یا استرین	میزبان	کشور	منطقه ژنوم	طول (bp)	رس شمار no.
WMV SG99.3	<i>C. melo</i>	Spain	cp	873	AJ579519
WMVMAD95.6	<i>C. melo</i>	Spain	cp	873	AJ579509
WMV	<i>C. melo</i>	Spain	cp	873	AJ579502
WMV	<i>C. melo</i>	Spain	cp	873	AJ579493
WMV	<i>C. melo</i>	Spain	cp	873	AJ579491
WMV	<i>C. melo</i>	Spain	cp	873	AJ579486
WMVM116		Spain	Nib-CP	1602	AF551334
WMV		Israel	cp	843	AF322376
WMV Tonga			Nib-CP- UTR	1656	L22907
WMV Habenari		Japan	Nib-CP- UTR	1180	AB001994
KER.JI.1	<i>Citrullus colocynthis</i>	Kerman-Jiroft	cp	822	EU667627
KER.KE.1	<i>C. melo</i> L.	Kerman-Kerman	cp	822	EU667644
YAZ.SH.1	<i>C. melo</i> L.	Yazd-Sadogh	cp	822	EU667635
YAZ.MO.1	<i>Cucumis sativus</i> L.(cucumber)	Yazd- Mohsenabad	cp	822	EU667638
ESF.ES.1	<i>Cucurbita moschata</i> , Iranian cultivar	Esfahan- Esfahanak	cp	822	EU667637
ESF.ES.2	<i>C. melo</i> L.	Esfahan- Esfahanak	cp	822	EU667640
YAZ.MO.2	<i>Cucurbita pepo</i>		cp	822	EU667630
ESF.GA.1	<i>C. sativus</i> L. (cucumber)	Esfahan-Gaz	cp	822	EU667641
ESF.GA.2	<i>Cucurbita maxima</i>	Esfahan-Gaz	cp	822	EU667634
ESF.ES.3	<i>C. sativus</i> L. (cucumber)	Esfahan- Esfahanak	cp	822	EU667633
HOR.HA.1	<i>C. melo</i> L. Shahabadi cultivar		cp	822	EU667628
ESF.GA.3	<i>C. sativus</i> L. (cucumber)	Esfahan-Gaz	cp	822	EU667643
ESF.ZA.1	<i>Cucurbita moschata</i> Duch (pumpkin) Iranian cultivar	Esfahan- Zarinsahr	cp	822	EU667639
ESF.ZA.2	<i>C. melo</i> L.	Esfahan- Zarinsahr	cp	822	EU667636
URO.NA.1	<i>C. maxima</i> Duch. E Lam. (winter squash)	Uromiae- Naghadae	cp	822	EU667629
URO.OS.1	<i>C. melo</i> L., kesavarz Cultivar		cp	822	EU667631
ESF.ZA.3	<i>C. sativus</i> L. (cucumber)	Esfahan- Zarinsahr	cp	822	EU667642
YAZ.TA.1	<i>Cucurbita pepo</i> (summer squash)	Yazd-Taft	cp	822	EU667632
WMV	Pumpkin	Japan	Nib-CP	1167	AB353119
WMV -F	Watermelon	France	precursor	10035	NC_006262
WMV		Australia	comp.	1157	D00535
WMV	Melon	South Korea	CP-UTR	10037	AB369278
WMV		USA	comp.	3308	D13913
WMV- Ch99/69		China	Nib-CP- UTR	1154	EF127832
WMV -Pk	<i>C. melo</i> var flexuosus	Pakistan	comp.	10039	AB218280
WMV -CHN	Watermelon	China	comp.	10037	DQ399708
WMV		New Zealand		1736	AY995215
WMV Pak	Snake gourd	Pakistan	Nib- CP_UTR	2045	AB127934
WMV-Fr		France	comp.	10035	AY437609
WMV-HLJ		China	cp	852	AY464948
WMVMAL99.5	<i>C. melo</i>	Spain	cp	873	AJ579524
WMV	Watermelon	Bandar Torkaman 129	cp	958	GQ421156
WMV	Melon	Gonbad68	cp	958	GQ421157
WMV	Summer squash	Mashhad	cp	963	GQ421158
WMV	Winter squash	Gorgan132	cp	958	GQ421159
WMV	Summer squash	Kordkuy127	cp	958	GQ421160
WMV	Summer squash	Shiraz	cp	962	GQ421161

cp: coat protein, Nib-CP UTR: Nuclear Inclusion Body-coat protein untranslated region, comp.: complete sequence



شکل ۱- علائم WMV روی کدو بیجان. a. رگبرگ نواری روی پهنک برگ کدو، b. موزاییک و تاوولی شدن پهنک برگ کدو c. بدشکلی و تاوولی شدن میوه خیار

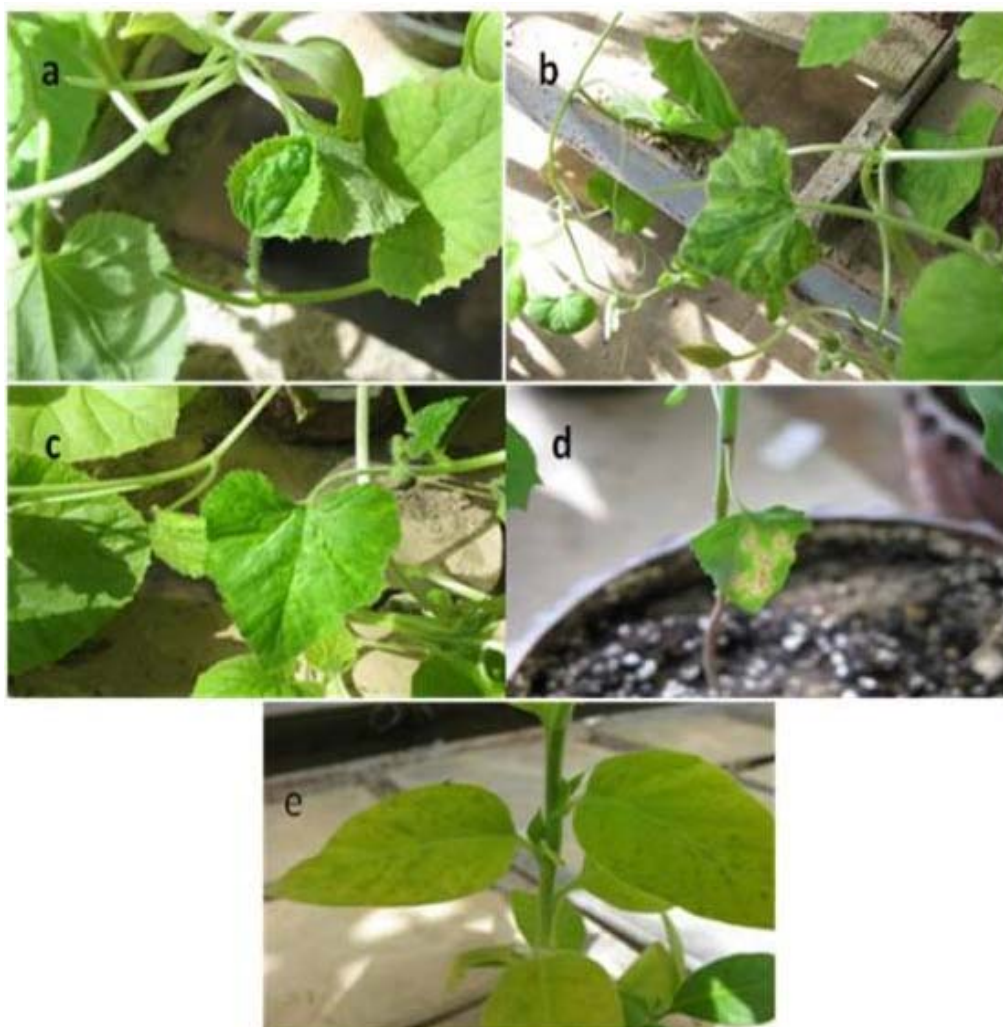
جدول ۲- تعداد و محل نمونه برداری گیاهان مختلف جالیزی و میران آلودگی آن‌ها به WMV در شهرستان ارومیه در سال زراعی ۱۳۸۹-۱۳۹۰

محل نمونه برداری	تعداد نمونه مورد آزمایش	تعداد نمونه آلوده
وقاصلوی علیا	۱۰	۳
مرنگلوی بزرگ	۱۷	۹
ساری بگلوی چراغ	۲۱	۳
آده بزرگ	۹	۴
زرماتلو	۱۰	۳
قراقلو	۱۴	۴
نازلو	۱۰	۸
الله لوی بزرگ	۵	۲
چنقرانلوی پل	۱۲	۵
زنبلان	۶	۰
امام زاده	۴۸	۴
میاوق	۴	۰
کشتیبان	۵	۲
یورقانلو	۲۵	۷
زینالو	۲۵	۸
قره جلو	۱۴	۴
طلاتپه	۸	۳
موش آباد	۱۶	۶
قوطلو	۲۹	۸
اصالوی کاظم	۱۱	۱
یکنجه	۱۴	۷
شمس اجیان	۱۳	۳

تعیین دامنه میزبانی ویروس موزاییک هندوانه

جهت بررسی دامنه میزبانی ویروس موزاییک هندوانه از گیاهان متنوعی متعلق به چهار خانواده استفاده گردید (جدول ۳). در این آزمون مشخص شد که ویروس روی *Cucurbita pepo* علائیم رگبرگ نواری سبزی، تاولی شدن و موزاییک، روی *C. melo* و *C. amaranticolor* Coste et Reyn و *L.cv.Felexus* لکه

موضعی نکرز، روی *C. sativus* L.cv. Peto Seed رگبرگ نواری سبز و روی *N.tobacum* cv. Burly علامت موزاییک ایجاد کرد (شکل ۲). ویروس در سایر میزبان‌های مایه‌زنی شده از جمله *C. Gomphrena globosa*, *Citrullus lanatus melo* و غیره فاقد علائم بود.



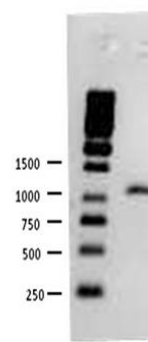
شکل ۲- a. رگبرگ نواری روی پهنک برگ کدو b. تاولی شدن همراه با رگبرگ نواری برگ کدو c. موزاییک روی پهنک برگ کدو d. لکه موضعی نکروتیک بر روی سلمه تره (*Chenopodium amaranticolor*) e. موزاییک بر روی پهنک برگ توتون (*N.tobacum* cv. Burly).

دست آمد. در این ترادف از موقعیت ۱ تا ۸۲۸ ژن پروتئین پوششی (CP)، از نوکلئوتید ۸۲۹ تا ۸۳۱ رمز پایانی TAA و از موقعیت ۸۳۲-۹۵۸ از ناحیه 3'UTR می‌باشد. این قسمت تعیین ترادف شده متناظر با موقعیت ۸۹۵۹ تا ۹۹۲۰ از ترادف کامل جدایه ایرانی IR02-1 (رس شمار EU660584) می‌باشد. ترادف جدایه ویروسی تعیین شده در این تحقیق با رس شمار JN597238 در بانک ژن قرار داده شد.

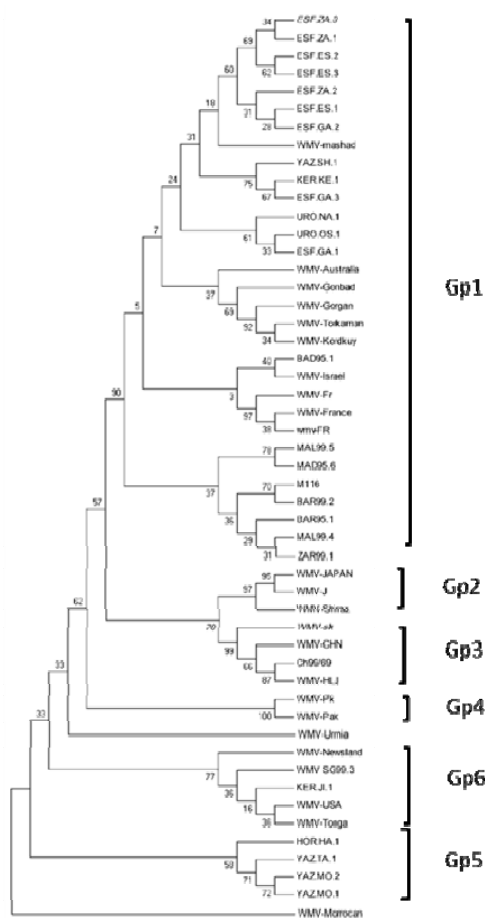
آزمون IC-RT-PCR

آزمون RT-PCR با استفاده از عصاره گیاه آلوده به صورت IC-RT-PCR انجام شد. بعد از جداسازی قطعه تکثیر شده از روی ژل (شکل ۳) و تعیین ترادف در دو جهت، اندازه قطعه مورد نظر، ۱۰۵۵ نوکلئوتید تعیین شد. از ترادف‌های حاصل پس از انجام تصحیحات و دلیل خوب خوانده نشدن دو انتها، قطعه‌ای به اندازه ۹۵۸ نوکلئوتید به

متفاوت است (۷، ۱۰، ۱۲، ۲۰ و ۲۲). ویروس موزاییک هندوانه یکی از گسترده‌ترین پوتی‌ویروس‌های کدویان در دنیا است که به محصولات جالیزی خسارت وارد می‌کند (۷ و ۲۰). در ایران مطالعات متعددی در مورد این ویروس انجام شده است. بیشترین علامتی که روی کدویان منطقه دیده شد علامت موزاییک بود. شناسایی و تعیین پراکنش WMV در ارومیه در سال ۱۳۸۹ نشان داد که این ویروس در بیشتر مناطق ارومیه وجود دارد. ویروس تنها در دو منطقه زنبلان و میاوق مشاهده نشد که البته احتمال دارد تعداد نمونه‌های بررسی شده برای ارزیابی نهایی کم باشد.



شکل ۳- الکتروفورز محصول PCR ویروس موزاییک هندوانه



شکل ۴- درخت فیلوژنتیکی ترسیم شده به روش *maximum parsimony*، بدست آمده از همدیف سازی ۷۷۴ نوکلئوتید از ژن پروتئین پوششی ۴۹ جدایه WMV همراه با جدایه ارومیه. مقدار *bootstrap*، ۱۰۰ برای محاسبه فیلوژنتیکی به کار رفته است. مقادیر *bootstrap* بیشتر از ۵۵ روی گره‌ها نشان داده شده‌اند و ریشه‌های با ارقام کمتر فشرده شده‌اند.

ترسیم درخت فیلوژنتیکی به روش *parsimony maximum* باهم‌دیف‌سازی ۷۷۴ نوکلئوتید از ژن پروتئین پوششی ۴۹ جدایه WMV (شکل ۴) انجام و شاخه‌های با *bootstrap* کمتر از ۵۵ فشرده (*condense*) شدند. این ۵۰ جدایه در ۶ گروه به صورت زیر قرار گرفتند:

گروه ۱ شامل جدایه‌های اسپانیا، فرانسه، استرالیا، اسرائیل، اصفهان، دو جدایه جدا شده از نقره و اشنویه (ارومیه)، گرگان، گنبد کاووس، بندر ترکمن، کردکوی، مشهد، یک جدایه از کرمان و یک جدایه از یزد. گروه ۲ شامل جدایه شیراز و دو جدایه از ژاپن. گروه ۳ جدایه‌های چین، کره جنوبی و ژاپن. گروه ۴ دو جدایه پاکستان. گروه ۵ جدایه‌های یزد و یک جدایه از هرمزگان. گروه ۶ یک جدایه از کرمان، جدایه نیوزیلند، آمریکا و تونگا (یکی از جزایر جنوب شرقی آسیا). گروه ۱ با بیش‌ترین تعداد طیف وسیعی از جدایه‌های اروپا و خاورمیانه را در بر گرفته است. تنها یک جدایه از استرالیا در بانک ژن وجود دارد که در این گروه قرار گرفته است. یک جدایه از کرمان، یک جدایه از یزد، جدایه بندر ترکمن، کردکوی، مشهد، اصفهان و دو جدایه از نقره و اشنویه در این گروه قرار می‌گیرند. گروه‌های ۲ و ۳ مربوط به جنوب شرق آسیا هستند. در گروه ۲، جدایه شیراز با دو جدایه ژاپن هم گروه شده است که بیانگر رابطه ژنتیکی بالا با سویه جدا شده از *Habernaria radiata* و یک سویه دیگر از ژاپن می‌باشد. گروه ۴ دو جدایه پاکستان و گروه ۵ مستقلاً جدایه‌های یزد و هرمزگان را شامل می‌شود. گروه ۶ که شامل جدایه‌های کرمان (KERJI)، نیوزیلند، اسپانیا، آمریکا و تونگا است از نظر توزیع جغرافیایی یک گروه نامتجانس‌تری را تشکیل می‌دهد. جدایه ارومیه ویروس موزاییک هندوانه در داخل هیچ‌کدام از این ۶ گروه قرار نگرفت.

بحث

وضعیت ویروس‌های کدویان در هر منطقه به عوامل متعددی بستگی دارد. در شرایط و مناطق مختلف غالبیت یک ویروس نسبت به ویروس‌های دیگر و یا نسبت آلودگی یک میزبان به میزبان دیگر

جدول ۳- دامنه میزبانی ویروس موزاییک هندوانه جدایه ارومیه

گیاه مورد آزمون	خانواده	WMV علایم
<i>Cucurbita pepo</i>	Cucurbitaceae	رگبرگ نواری، موزاییک و تاولی شدن
<i>Cucumis melo</i>	Cucurbitaceae	فاقد علایم
L.cv. <i>Felexusus C. melo</i>	Cucurbitaceae	موزاییک
<i>C. sativus</i> L.cv. <i>Peto Seed</i>	Cucurbitaceae	رگبرگ نواری
<i>Citrillus lantanus</i> Thunb.cv. <i>Crimson Sweet</i>	Cucurbitaceae	فاقد علایم
<i>Gomphrena globosa</i> L.	Amaranthaceae	فاقد علایم
<i>Chenopodium quinoa</i> Wild.	Chenopodiaceae	فاقد علایم
<i>C. amaranticolor</i> Coste et Reyn	Chenopodiaceae	لکه موضعی نکروز
<i>C. mural</i> L.	Chenopodiaceae	فاقد علایم
<i>C. album</i> L.	Chenopodiaceae	فاقد علایم
<i>Nicotiana clevelandii</i> Gray	Solonaceae	فاقد علایم
<i>N.tobacum</i> cv. <i>Burly</i>	Solonaceae	موزاییک
<i>Nicotiana tobacum</i> L.cv. <i>Turkish</i>	Solonaceae	فاقد علایم
<i>N.tabacum</i> L.cv. <i>Samson</i>	Solonaceae	فاقد علایم
<i>N. glutinosa</i> L.	Solonaceae	فاقد علایم

شده است که WMV احتمالاً در شرق نسبت به خاورمیانه و اروپا قدمت تکاملی طولانی‌تری داشته و از آنجا به طرف غرب یعنی خاورمیانه و سپس اروپا وارد شده است. اگرچه درخت فیلوژنتیک در بعضی از موارد با توزیع جغرافیایی هم‌خوانی دارد ولی قرابت فیلوژنتیکی یا هم گروه شدن بعضی از جدایه‌ها از مناطق مختلف جهان با یکدیگر، همانطور که در بعضی از شاخه‌ها دیده می‌شود انطباق کاملی با قرابت جغرافیایی ندارد. در کنار هم قرار گرفتن جدایه های نیوزیلند، اسپانیا، آمریکا و تونگا در شاخه ۶، جدایه استرالیا با جدایه‌های مشهد و گرگان در شاخه ۱ و نیز جدایه‌ای از اسپانیا و فرانسه با جدایه‌های ایران در شاخه ۱ و جدایه شیراز با جدایه‌های ژاپن، چین و کره جنوبی هماهنگی توزیع جغرافیایی با قرابت فیلوژنتیک را بر هم می‌زند. این توزیع نشان می‌دهد که انتشار جهانی و گسترده WMV نمی‌تواند تنها به وسیله ناقلین طبیعی یعنی شته‌ها صورت گیرد و این مسئله احتمال دخالت انسان و به بیان دیگر انتشار با بذر را تقویت می‌کند. نکته دیگری که بایستی در مورد تنوع جدایه های ایرانی بیان کرد این است که این احتمال وجود دارد که WMV بیش از یک بار به طرق مختلف به ایران وارد شده است. در این تحقیق بدلیل کمبود امکانات تنها یک جدایه که از روی کدوی زمستانی جدا شده بود تعیین ترادف شد و در بررسی فیلوژنتیکی بکار رفت. برای نتیجه‌گیری بهتر تعیین ترادف چندین جدایه از ارومیه و از روی گیاهان دیگر نیز ضروری به نظر می‌رسد.

از بین گیاهان جالیزی، کدوی زمستانی بیش‌ترین میزان آلودگی را به خود اختصاص داد و کم‌ترین میزان آلودگی مربوط به هندوانه بود. در بررسی که توسط شعبی و همکاران در سال ۱۳۸۸ در استان گلستان انجام شد، خربزه بالاترین میزان آلودگی و خیار پایین‌ترین میزان آلودگی را نشان داد. این اختلاف احتمالاً مربوط به اختلاف در نوع و میزان محصول کشت شده در این مناطق می‌باشد. در منطقه ارومیه بیشترین سطح کشت به کدوی زمستانی مربوط می‌شود. در این بررسی دامنه میزبانی این ویروس به گیاهان جالیزی محدود می‌شود اما در شرق گیاهان دیگری مانند *Hebararia* و انیل نیز به عنوان میزبان گزارش شده‌اند (۶ و ۲۰). بررسی ژن پروتئین پوششی جدایه ارومیه با ۴۹ جدایه WMV از بانک ژن به روش‌های maximum parsimony neighbor joining و maximum likelihood نشان داد که جدایه ارومیه داخل هیچکدام از ۶ گروهی که قبلاً توسط محققین دیگر تعیین شده بود قرار نگرفته و یک شاخه کاملاً مجزایی ایجاد کرد. جدایه‌ای که در این تحقیق بررسی شد از کدوی زمستانی از ارومیه جدا شد و با دو جدایه قبلی جدا شده از این منطقه توسط شریفی و همکاران (۱۶) در یک گروه نیز قرار نمی‌گیرد. در تحقیق حاضر از هم‌ردیف سازی ۷۷۴ نوکلئوتید در جدایه‌ها برای ترسیم درخت‌های فیلوژنتیکی استفاده شد درحالی که شعبی و همکاران (۱) از هم‌ردیف سازی ۷۵۰ نوکلئوتید استفاده کرده‌اند. براساس بررسی انجام شده توسط شعبی و همکاران (۱) مشخص

منابع

- ۱-شعیبی س.، معصومی م.، نصراله نژاد س.، حیدری س.، ایزدپناه ک. و احمدی خواه ا. ۱۳۸۸. تعیین ترادف شش جدایه ایرانی ویروس موزاییک هندوانه و مقایسه فیلوژنتیکی جدایه‌های ایران با سایر جدایه‌های دنیا. بیماری‌های گیاهی ۴۵: ۱۵۴-۱۴۳.
- 2-Altschul S.F., Gish W., Miller W., Myers E.W., and Lipman D.J. 1990. Basic local alignment search tool. *Journal of Molecular Biology*, 215: 403-10.
- 3-Bahar M., Danesh D., and Filsouf F. 1983. Prevalence and identity of cucurbit infecting viruses in Isfahan. *Proc. 7th Plant Prot. Congr, Karaj, Iran*. p 72.
- 4-Clark M.F., and Adams A.N. 1977. Characteristics of the microplate method of enzyme- immunosorbent assay for the detection of linked plant viruses. *Journal of General Virology*, 34: 475-483.
- 5-Ebrahim-Nesbat F. 1974. Distribution of watermelon mosaic viruses 1 and 2 in Iran. *Journal of phytopathology* 79, 352-358.
- 6-Gara I.W., Kondo H., Maeda T., Inouye N., and Tamada T. 1997. Stunt disease of *Habenaria radiata* caused by a strain of *Watermelon mosaic virus*. *Annual Review of Phytopathology*, 63: 113-117.
- 7-Grafton-Cardwell E., Perring T.M., Smith R.F., Valencia J., and Farrar C.A. 1996. Occurrence of mosaic viruses in melons in the central valley of California. *Plant Disease*, 80: 1092-1097.
- 8-Huth W. 1999. Tissue print immunoassay-a rapid and reliable method for routinely detecting gramineae viruses. *Plant Research Development* 49:7-19.
- 9-Lovisol O. 1980. Virus and viroid disease of cucurbits. *Acta Horticulture* 88: 33-81.
- 10-Massumi H., Samei A., Hosseini A., Pour A., Shaabani M., and Rahimian H. 2007. Occurrence, distribution and relative incidence of seven viruses infecting greenhouse-grown cucurbits in Iran. *Plant Diseases*, 91: 159-163.
- 11-Parvizy R. 1989. Importance of cucurbitaceae viruses in Ourmia. p165. *Proc. 9th Plant Protec. Cong. Mashhad, Iran*.
- 12-Perring T.M., Farrar C.A., Mayberry K., and Blua M.J. 1992. Research reveals pattern of cucurbit virus spread. *California Agriculture*, 46: 35-40.
- 13-Purcifull D.E., Hiebert E., and Edwardson J. 1984. *Watermelon mosaic virus 2*. Description of Plant Viruses CMI/AAB.
- 14-Rahimian H., and Izadpanah K. 1987. Identity and prevalence of mosaic inducing cucurbit viruses in Shiraz, Iran. *Journal of Phytopathology*, 92:305-312.
- 15-Shabani M., Masomi H., Hoseinipour A., Heidarnejad J., and Azami Z. 2007. Identification and distribution of cucumber-infecting viruses in the Jiroft greenhouses and partial characterization of *Zucchini yellow mosaic virus* collected from this region. *Journal of Science and Technology (Agriculture and Natural Resources)*, 11: 393 - 406.
- 16-Sharifi M., Massumi H., Heydarnejad J., Hossein Pour A., Shaabani M., and Rahimian H. 2008. Analysis of the biological and molecular variability of *Watermelon mosaic virus* isolates from Iran. *Virus Genes* 37, 304-313.
- 17-Shoeibi S., Masumi M., Nasrollanezhad S., Heydari S., Izadpanah K., and Ahmadikhah A. 2009. Sequencing of six Iranian isolates of *Watermelon mosaic virus* and phylogenetic comparison of Iranian isolates with other isolates of the world. *Journal of Plant Pathology*, 2: 39-42.
- 18-Sukla D., Ward W., and Brunt A. 1994. *The Potyviridae*. CAB International. Wallingford.
- 19-Tamura K., Dudley J., Nei M., and Kumar S. 2007. MEGA4: Molecular Evolutionary Genetics Analysis (MEGA) software version 4.0. *Molecular Biology and Evolution* 24,1596-1599.
- 20-Ullman D.E., Cho J.J., and German G.L. 1991. Occurrence and distribution of cucurbit viruses in Hawaiian Islands. *Plant Diseases* 75, 367-370.
- 21-Wang Y.Y., Beck D.L., Gardner R.C., and Pearson M.N. 1993. Nucleotide sequence, serology and symptomatology suggest that *Vanilla necrosis Potyvirus* is a strain of *Watermelon mosaic virus II*. *Archives of Virology*, 129: 93-103.
- 22-Yuki V.A., Rezende, J.A.M., Kitajima E.W., Barroso P.A.V., Kuniyuki H., Groppo G.A., and Pavan M.A. 2000. Occurrence, distribution, and relative incidence of five viruses infecting cucurbits in the state of Sao Paulo, Brazil. *Plant Diseases*, 84: 516-520.